

УДК 539.3

©1993

Л.А.Фильшинский, М.Л.Фильшинский

РАСТЯЖЕНИЕ СОСТАВНОЙ ПЬЕЗОКЕРАМИЧЕСКОЙ ПЛАСТИНЫ, ОСЛАБЛЕННОЙ ТРЕЩИНАМИ-РАЗРЕЗАМИ

Исследование сопряженных механических и электрических полей в однородной пьезокерамической пластине с трещинами, линейными включениями содержится в [1, 4]. Ниже предлагается решение задачи электроупругости для составной пьезокерамической плоскости, ослабленной трещинами достаточно произвольной конфигурации. Приводятся результаты расчетов.

§ 1. Рассмотрим кусочно-однородную пьезокерамическую среду, состоященную из двух непрерывно скрепленных вдоль оси x_1 различных пьезокерамических полу平面остей. Для определенности будем полагать,

что направление предварительной поляризации пьезокерамики параллельно оси x_3 (рис.1). Пусть верхняя полуплоскость содержит трещины, которые в недеформированном состоянии ассоциируются с математическими разрезами $L_j (j = \Gamma, k)$, на бесконечности приложено однородное поле механических напряжений

$$\langle \sigma_{11}^{(1)} \rangle, \langle \sigma_{11}^{(2)} \rangle,$$

$$\langle \sigma_{13} \rangle, \langle \sigma_{33} \rangle$$

и электрической напряженности
 $\langle E_1 \rangle, \langle E_3^{(1)} \rangle, \langle E_3^{(2)} \rangle$,
а на берегах разрезов имеет место вектор механического напряжения
 (X_{1n}, X_{3n}) . Далее будем

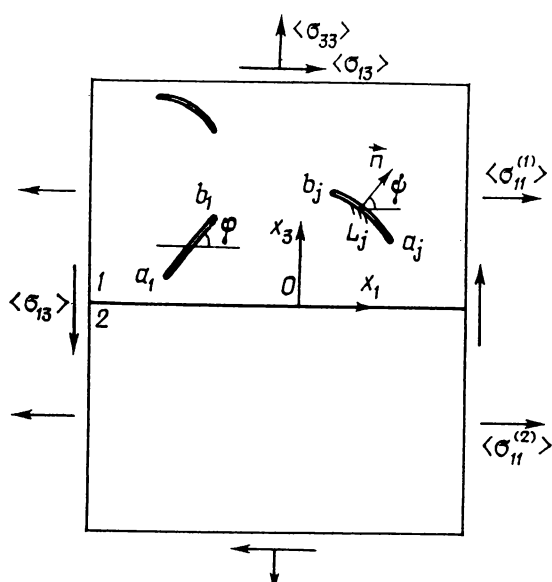


Рис. 1

предполагать, что кривизны контуров L_j и функции X_{1n}, X_{3n} удовлетворяют условию Гельдера, L_j не имеют общих точек и заданная на них нагрузка непрерывно продолжима с одного берега на другой.

В указанной постановке механические величины определяются через три комплексных потенциала $\Phi_v(z_v)$ по формулам [4]

$$\{ \sigma_{33}, \sigma_{13}, \sigma_{11} \} = 2 \operatorname{Re} \sum_{v=1}^3 \{ \gamma_v, -\gamma_v \mu_v, \gamma_v \mu_v^2 \} \Phi_v(z_v);$$

$$\{u_1, u_3\} = 2 \operatorname{Re} \sum_{\nu=1}^3 \{p_\nu, q_\nu\} \varphi_\nu(z_\nu), \quad \Phi_\nu(z) = \frac{d \varphi_\nu(z)}{dz}; \quad (1.1)$$

$$\{E_1, E_3\} = 2 \operatorname{Re} \sum_{\nu=1}^3 \lambda_\nu \{1, \mu_\nu\} \Phi_\nu(z_\nu);$$

$$\{D_1, D_3\} = 2 \operatorname{Re} \sum_{\nu=1}^3 r_\nu \{\mu_\nu, -1\} \Phi_\nu(z_\nu);$$

$$\gamma_\nu = \epsilon_{11} + \epsilon_{33} \mu_\nu^2, \quad \lambda_\nu = (d_{15} - d_{33}) \mu_\nu - d_{31} \mu_\nu^3;$$

$$p_\nu = \gamma_\nu (s_{11} \mu_\nu^2 + s_{13}) + d_{31} \lambda_\nu \mu_\nu, \quad r_\nu = \mu_\nu^{-1} \epsilon_{11} \lambda_\nu - \gamma_\nu d_{15};$$

$$q_\nu = \gamma_\nu (s_{13} \mu_\nu + s_{33} / \mu_\nu) + \lambda_\nu d_{33},$$

где σ_{ij} , u_i — компоненты тензора напряжения и вектора перемещения; E_i, D_i — компоненты электрической напряженности и индукции; $s_{ik} = s_{ik}^E$, d_{ik} , $\epsilon_{ik} = \epsilon_{ik}^T$ — соответственно упругие податливости, пьезоэлектрические модули и диэлектрические постоянные [2, 3]; комплексные параметры μ_ν ($\operatorname{Im} \mu_\nu > 0$) являются корнями характеристического уравнения

$$[s_{33} + (2s_{13} + s_{44})\mu^2 + s_{11}\mu^4](\epsilon_{11} + \epsilon_{33}\mu^2) - \mu^2(d_{15} - d_{33} - d_{31}\mu^2)^2 = 0. \quad (1.2)$$

В дальнейшем всем величинам, относящимся к r -й полуплоскости, будем приписывать сверху индекс r . На линии сопряжения полуплоскостей необходимо поставить условия непрерывной продолжимости векторов напряжения и смещения, а также электрических величин E_1 и D_3 . Имеем в соответствии с (1.1)

$$\operatorname{Re} \sum_{\nu=1}^3 \{c_{k\nu}^{(1)} \Phi_\nu^{(1)}(x_1) - c_{k\nu}^{(2)} \Phi_\nu^{(2)}(x_1)\} = 0 \quad (k=1,6); \quad (1.3)$$

$$c_{1\nu}^{(r)} = \gamma_\nu^{(r)}, c_{2\nu}^{(r)} = \gamma_\nu^{(r)} \mu_\nu^{(r)}, c_{3\nu}^{(r)} = q_\nu^{(r)}, c_{4\nu}^{(r)} = q_\nu^{(r)}, c_{5\nu}^{(r)} = \lambda_\nu^{(r)}, c_{6\nu}^{(r)} = r_\nu^{(r)} \quad (r=1,2).$$

Механические граничные условия на берегах L_j формулируются обычным образом. Электрические условия, следя [6], представим как условия сопряжения поля на границе раздела двух диэлектриков. В терминах введенных потенциалов запишем

$$\operatorname{Re} \sum_{k=1}^3 b_{nk} \{ \Phi_k^{(1)}(\zeta_k^{(1)}) \}^\pm = f_n^\pm(\zeta) \quad (n=1,2); \quad (1.4)$$

$$\operatorname{Re} \sum_{k=1}^3 b_{nk} [\Phi_k^{(1)}(\zeta_k^{(1)})] = 0 \quad (n=3,4);$$

$$b_{1k} = \gamma_k \mu_k a_k(\psi), \quad b_{2k} = \gamma_k a_k(\psi), \quad b_{3k} = \lambda_k a_k(\psi);$$

$$b_{4k} = r_k a_k(\psi), \quad a_k(\psi) = \mu_k \cos \psi - \sin \psi;$$

$$f_1(\zeta) = X_{1n}(\zeta), \quad f_2(\zeta) = -X_{3n}(\zeta);$$

$$\zeta_k^{(1)} = \operatorname{Re} \zeta + \mu_k^{(1)} \operatorname{Im} \zeta, \quad \zeta = \xi_1 + i \xi_2 \in L_j \quad (j=1, k).$$

Здесь ψ — угол между положительной нормалью к левому берегу L_j (при движении от его начала a_j к концу $-b_j$) и осью ox ; символ $[\cdot]$ — означает скачок соответствующей величины при переходе через разрез, индекс $r=1$ относится к верхней полуплоскости.

Таким образом, задача заключается в определении потенциалов $\Phi_\nu^{(r)}(z_\nu^{(r)})$ по условиям сопряжения на границе раздела сред (1.3), граничным

равенствам (1.4), а также условиям на бесконечности.

§ 2. Пусть в точке (x_{10}, x_{30}) верхней полуплоскости составной среды имеет место сосредоточенная сила $P_1 + i P_3$ или сосредоточенный заряд плотности ρ . Решение этой задачи назовем фундаментальным. Используя идею принципа отражения [5], представим его в виде

$$\Phi_\nu^{(1)}(z_\nu^{(1)}) = \frac{A_\nu^{(1)}}{z_\nu^{(1)} - z_{\nu 0}^{(1)}} - \sum_{m=1}^3 \frac{\beta_{\nu m}^{(1)} A_m^{(1)}}{z_\nu^{(1)} - z_{m0}^{(1)}} \quad (\nu = 1, 3; r = 1, 2);$$

$$\Phi_\nu^{(2)}(z_\nu^{(2)}) = \sum_{m=1}^3 \frac{\beta_{\nu+3, m}^{(1)} A_m^{(1)}}{z_\nu^{(2)} - z_{m0}^{(1)}}, \quad z_\nu^{(r)} = \operatorname{Re} z + \mu_\nu^{(r)} \operatorname{Im} z;$$

$$z_{\nu 0}^{(r)} = \operatorname{Re} z_0 + \mu_\nu^{(r)} \operatorname{Im} z_0, \quad z = x_1 + ix_3, \quad z_0 = x_{10} + ix_{30} \quad (x_{30} > 0). \quad (2.1)$$

Здесь первый член дает фундаментальное решение для однородной пьезокерамической среды; величины $A_\nu^{(1)}$ ($\nu = 1, 2$) определены в [4]; константы $\beta_{\nu m}$ пока произвольны.

Потребовав, чтобы так определенное решение удовлетворяло условиям сопряжения (1.3) на границе $x_3 = 0$, приходим к системам уравнений относительно $\beta_{\nu m}$.

$$\sum_{\nu=1}^3 (\bar{c}_{k\nu}^{(1)} \beta_{\nu m}^{(1)} + c_{k\nu}^{(2)} \beta_{\nu+3, m}^{(1)}) = c_{km}^{(1)} \quad (m = 1, 3; k = 1, 6). \quad (2.2)$$

Можно показать, что определители этих систем отличны от нуля. Таким образом, фундаментальное решение вполне определяется соотношениями (2.1), (2.2).

Потенциалы исходной граничной задачи построим, заменив в (2.1) постоянные $A_m^{(1)}$ некоторыми распределениями по формулам (ds — элемент дуги L_j)

$$A_m^{(1)} = -\frac{i}{2\pi} \omega_m(\zeta) a_m^{(1)}(\psi) ds \quad (m = 1, 3);$$

$$a_m^{(1)}(\psi) = \mu_m^{(1)} \cos \psi - \sin \psi, \quad \zeta \in L = \cup L_j. \quad (2.3)$$

Имеем

$$\Phi_\nu^{(1)}(z_\nu^{(1)}) = \frac{1}{2\pi i} \int_L \frac{\omega_\nu(\zeta) d\zeta_\nu^{(1)}}{\zeta_\nu^{(1)} - z_\nu^{(1)}} - \sum_{m=1}^3 \frac{\bar{\beta}_{\nu m}^{(1)}}{2\pi i} \int_L \frac{\omega_m(\zeta) d\zeta_m^{(1)}}{\zeta_m^{(1)} - z_\nu^{(1)}} + B_\nu^{(1)}; \quad (2.4)$$

$$\Phi_\nu^{(2)}(z_\nu^{(2)}) = \sum_{m=1}^3 \frac{\beta_{\nu+3, m}^{(1)}}{2\pi i} \int_L \frac{\omega_m(\zeta) d\zeta_m^{(1)}}{\zeta_m^{(1)} - z_\nu^{(2)}} + B_\nu^{(2)};$$

$$z_\nu^{(r)} = \operatorname{Re} z + \mu_\nu^{(r)} \operatorname{Im} z, \quad \zeta_\nu^{(1)} = \operatorname{Re} \zeta + \mu_\nu^{(1)} \operatorname{Im} \zeta;$$

$$\zeta \in L \quad (r = 1, 2; \quad \nu = 1, 3).$$

Интегрирование здесь производится по соответствующим аффинным отображениям контуров L_j в плоскостях $z_\nu^{(1)}$ ($\nu = 1, 3$). Постоянные $B_\nu^{(r)}$ отражают условия на бесконечности.

Функции (2.4) удовлетворяют условиям сопряжения (1.3) независимо от выбора плотностей $\omega_\nu(\zeta)$. Последние необходимо определить из граничных равенств (1.4). Подставляя туда предельные значения функций (2.4), приходим к смешанной системе из двух вещественных сингулярных интегральных и четырех алгебраических уравнений относительно трех комплексных плотностей $\omega_\nu(\zeta)$

$$2 \operatorname{Re} \sum_{\nu=1}^3 b_{\nu\nu}^0 \left\{ \frac{1}{\pi i} \int_L \frac{\omega_\nu(\xi) d\xi_\nu^{(1)}}{\xi_\nu^{(1)} - \xi_{\nu 0}^{(1)}} - \sum_{m=1}^3 \frac{\beta_{\nu m}^{(1)}}{\pi i} \int_L \frac{\overline{\omega_m(\xi)} d\xi_m^{(1)}}{\xi_m^{(1)} - \xi_{\nu 0}^{(1)}} \right\} = W_n(\xi_0) \quad (n=1,2); \quad (2.5)$$

$$2 \operatorname{Re} \sum_{\nu=1}^3 b_{\nu\nu} \omega_\nu(\xi) = 0 \quad (n=1,2);$$

$$W_1(\xi_0) = 2X_{1n} - 2(<\sigma_{11}^{(1)}>\cos\psi_0 + <\sigma_{13}>\sin\psi_0);$$

$$W_2(\xi_0) = -2X_{3n} + 2(<\sigma_{13}>\cos\psi_0 + <\sigma_{33}>\sin\psi_0);$$

$$\xi_{\nu 0}^{(1)} = \operatorname{Re} \xi_0 + \mu_\nu^{(1)} \operatorname{Im} \xi_0, \quad \psi_0 = \psi(\xi_0), \quad b_{\nu\nu}^0 = b_{\nu\nu}(\psi_0).$$

Эту систему необходимо рассматривать в совокупности с дополнительными условиями

$$\operatorname{Re} \sum_{\nu=1}^3 p_\nu \int_{L_j} \omega_\nu(\xi) d\xi_\nu^{(1)} = 0, \quad \operatorname{Re} \sum_{\nu=1}^3 q_\nu \int_{L_j} \omega_\nu(\xi) d\xi_\nu^{(1)} = 0 \quad (j=1,2), \quad (2.6)$$

которые вытекают из требования однозначности перемещений в составной среде.

Уравнения (2.5), (2.6) однозначно определяют функции $\omega_\nu(\xi)$ в классе функций, неограниченных на концах L_j . По ним восстанавливаются в соответствии с формулами (2.4) потенциалы $\Phi_\nu^{(r)}(z_\nu^{(r)})$. После этого по соотношениям (1.1) можно вычислить механические и электрические полевые величины в любой точке составной среды.

В механике разрушения имеют значение коэффициенты интенсивности напряжений, определяемые следующим образом [7]:

$$K_1 = \lim_{r \rightarrow 0} \sqrt{2\pi r} \sigma_n, \quad K_{II} = \lim_{r \rightarrow 0} \sqrt{2\pi r} \tau_{ns}, \quad (r \rightarrow 0), \quad (2.7)$$

где σ_n , τ_{ns} — нормальное и касательное напряжения на продолжении трещины за вершину, r — расстояние от точки до вершины c .

Параметризуем контур L_j следующим образом (ниже индекс j опускаем): $\xi = \xi(\beta)$, $\xi_0 = \xi(\beta_0)$, $-1 \leq \beta, \beta_0 \leq 1$. В соответствии с этим положим

$$\omega_m(\xi) = \frac{\Omega_m(\beta)}{\sqrt{1-\beta^2}}, \quad \Omega_m(\beta) \in H[-1,1] \quad (m=1,2). \quad (2.8)$$

Вычисляя асимптотику напряжений в вершине трещины с учетом соотношений (1.1), (2.4), (2.8), находим

$$K_1 = \pm \sqrt{\pi s'(\pm 1)} \operatorname{Im} \sum_{m=1}^3 \gamma_m \left\{ a_m^{(1)}(\psi_c) \right\}^2 \Omega_m(\pm 1);$$

$$K_{II} = \pm \sqrt{\pi s'(\pm 1)} \operatorname{Im} \sum_{m=1}^3 \gamma_m a_m^{(1)}(\psi_c) e_m^{(1)}(\psi_c) \Omega_m(\pm 1); \quad (2.9)$$

$$a_m^{(1)}(\psi_c) = \mu_m^{(1)} \cos \psi_c - \sin \psi_c;$$

$$e_m^{(1)}(\psi_c) = \mu_m^{(1)} \sin \psi_c + \cos \psi_c,$$

где верхний знак соответствует вершине $c = a$, нижний — $c = \alpha$, ψ_c — угол между нормалью к L_j в вершине c и осью ox .

§ 3. В качестве примера рассмотрим составную пьезокерамическую среду (верхняя полуплоскость $BaTiO_3$, нижняя — $PZT-5$), содержащую над линией разреза параболическую трещину, параметрические уравнения которой $\xi_1 + i\xi_2 = (p_1\beta + ip_2\beta^2)e^{i\phi} + ih$, $-1 \leq \beta \leq 1$.

Ниже представлены результаты расчетов относительных коэффициен-

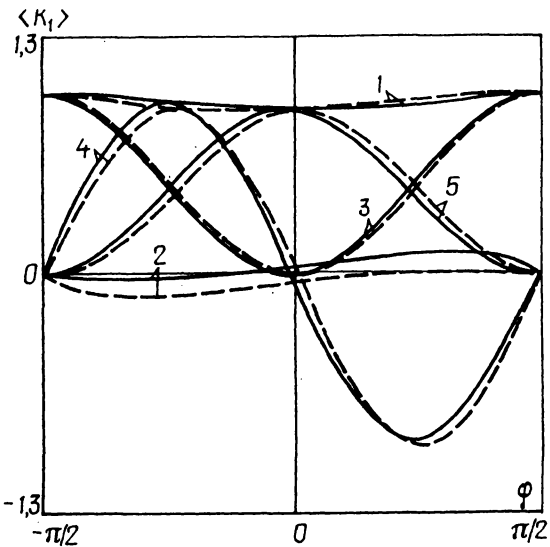


Рис. 2

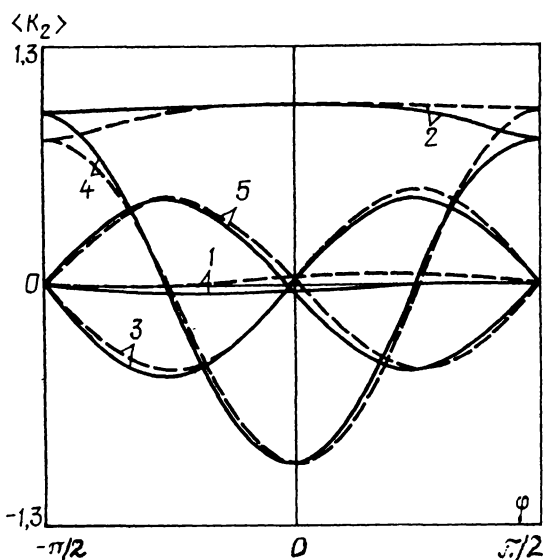


Рис. 3

$\langle K_1 \rangle$ резко возрастает от значения 0,61 до 0,79 и затем, с увеличением h/l монотонно возрастает, асимптотически приближаясь к единице.

В заключение отметим, что заданные на бесконечности механические и электрические величины не вполне произвольны. Напряжения σ_{13} , σ_{33} , а также компонента электрической напряженности E_1 непрерывно продолжим через линию раздела сред, а σ_{11} и E_3 претерпевают скачки, которые можно определить из условий совместности. Имеем

$$s_{11}^{(2)} \langle \sigma_{11}^{(2)} \rangle + d_{31}^{(2)} \langle E_3^{(2)} \rangle = s_{11}^{(1)} \langle \sigma_{11}^{(1)} \rangle + (s_{13}^{(1)} - s_{13}^{(2)}) \langle \sigma_{33} \rangle + d_{31}^{(1)} \langle E_3^{(1)} \rangle;$$

$$d_{31}^{(2)} \langle \sigma_{11}^{(2)} \rangle + \epsilon_{33}^{(2)} \langle E_3^{(2)} \rangle = d_{31}^{(1)} \langle \sigma_{11}^{(1)} \rangle + (d_{33}^{(1)} - d_{33}^{(2)}) \langle \sigma_{33} \rangle + \epsilon_{33}^{(1)} \langle E_3^{(1)} \rangle.$$

Отсюда, по заданным $\langle \sigma_{11}^{(1)} \rangle$, $\langle \sigma_{33} \rangle$, $\langle E_3^{(1)} \rangle$ определяются $\langle \sigma_{11}^{(2)} \rangle$ и $\langle E_3^{(2)} \rangle$.

тров интенсивности напряжений
 $\langle K_{1,2} \rangle = (\Lambda \sqrt{\pi l})^{-1} K_{1,2}$
(Λ — параметр нагружения) в зависимости от угла φ и параметра кривизны p_2 для различных видов нагружения. Кривые 1,2 построены соответственно для равномерной нормальной и касательной нагрузки P на берегах трещины ($\Lambda = P$); кривые 3, 4, 5 соответственно для равномерного растяжения вдоль оси x_1 ($\Lambda = \langle \sigma_{11}^{(1)} \rangle$), чистого сдвига ($\Lambda = \langle \sigma_{13} \rangle$) и растяжения вдоль оси x_3 ($\Lambda = \langle \sigma_{33} \rangle$) на бесконечности. Сплошные кривые относятся к вершине $c = a$, штриховые — к вершине $c = b$.

На рис. 2,3 построены графики величин $\langle K_1 \rangle$ и $\langle K_2 \rangle$ соответственно для прямой трещины при $p_1 = 2$, $p_2 = 0$, $h = 2,2$; на рис. 4 — графики для параболической трещины при $p_1 = 1$, $\varphi = 0$, $h = 0,8$.

Из результатов расчетов следует, что влияние неоднородности пластины на коэффициенты интенсивности напряжений может оказаться существенным. Например, при $0 < h/l < 0,05$ величина

Р Е З Ю М Е. Розглядається задача про розтяг складеної п'єзокерамічної площини, послабленої тріщинами, розташованими цілком у верхній напівплощині. Побудовано інтегральні представлення розв'язків граничної задачі, на базі яких вона зведена до мішаної системи інтегральних та алгебраїчних рівнянь.

S U M M A R Y. The problem of extension of a composite piezoceramic plane weakened with the cracks completely situated in the upper half-plane is considered. Integral representations of solutions to the boundary value problem are constructed. On this basis, the problem is reduced to a mixed system of integral and algebraic equations.

1. Белокопытова Л.В., Фильшинский Л.А. Двумерная краевая задача электроупругости для пьезоэлектрической среды с разрезами // Прикл. математика и механика. — 1979. — 43, № 1. — С. 138 — 143.
2. Берлинкур Д., Керран Д., Жаффе Г. Пьезоэлектрические и пьезомагнитные материалы и их применение в преобразователях // Физическая акустика. — М., 1966. — Т. 1, Ч. А. — С. 204 — 326.
3. Гринченко В.Г., Улитко А.Ф., Шульга Н.А. Механика связанных полей в элементах конструкций. Т. 5. Электроупругость. — Киев: Наук. думка. 1989. — 280 с.
4. Иваненко О.А., Фильшинский Л.А. Взаимодействие трещины и включения в пьезокерамическом полупространстве // Прикл. механика. — 1983. — 49, № 12. — С. 52 — 58.
5. Морс Ф.М., Фешбах Г. Методы теоретической физики: В 2 -х т. — М.: Изд-во иностр. лит., 1958. — Т. 1. — 930 с.
6. Половинкина И.Б., Улитко А.Ф. К теории равновесия пьезокерамических тел с трещинами // Тепл. напряжения в элементах конструкций. — 1978. — № 18. — С. 10 — 17.
7. Черепанов Г.Л. Механика хрупкого разрушения. — М.: Наука. 1974. — 640 с.

Сумський фіз.-технол. ін-т

Поступила 08.04.92

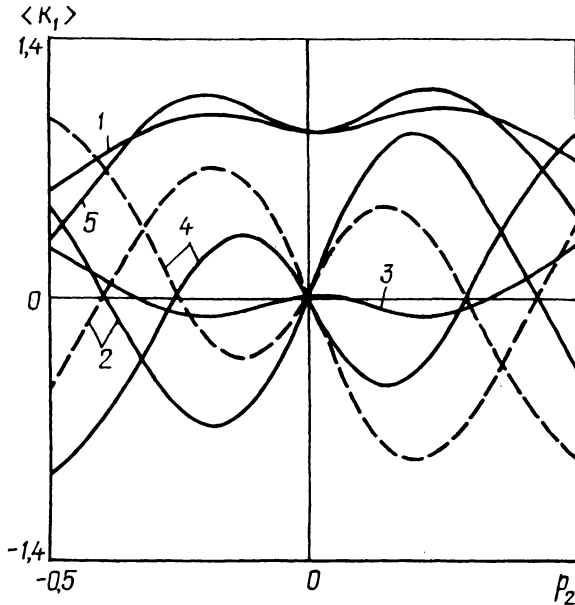


Рис. 4